

(1) Baumusterprüfbescheinigung

(2) Nr. der Baumusterprüfbescheinigung: **ZP/B089/18** ersetzt ZP/B002/15

(3) Produkt: **Anschlageinrichtung Typ C**
Typ: **ALLinONE**

(4) Hersteller: **INNOTECH® Arbeitsschutz GmbH**

(5) Anschrift: **Laizing 10, 4656 Kirchham, Österreich**

(6) Die Bauart dieser Produkte sowie die verschiedenen zulässigen Ausführungen sind in der Anlage zu dieser Baumusterprüfbescheinigung festgelegt.

(7) Die Zertifizierungsstelle der DEKRA Testing and Certification GmbH bescheinigt, dass diese Produkte die grundlegenden Anforderungen gemäß den unter Punkt 8 aufgeführten Normen erfüllen. Die Ergebnisse der Prüfung sind in dem Bericht PB 17-340 niedergelegt.

(8) Die Normanforderungen werden erfüllt durch Übereinstimmung mit

DIN EN 795:2012

DIN CEN/TS 16415:2017

(9) Diese Baumusterprüfbescheinigung bezieht sich nur auf die Konzeption und die Baumusterprüfung der beschriebenen Produkte in Übereinstimmung mit den genannten Normen. Für Herstellung und Inverkehrbringen der Produkte sind gegebenenfalls weitere Anforderungen zu erfüllen, die nicht durch diese Bescheinigung abgedeckt sind.

(10) Diese Baumusterprüfbescheinigung ist bis zum 30.01.2024 gültig.

DEKRA Testing and Certification GmbH
Bochum, den 31.01.2019

Zertifizierungsstelle

Fachbereich

- (11) Anlage zur
- (12) **Baumusterprüfbescheinigung
ZP/B089/18**
- (13) 13.1 Gegenstand und Typ
Anschlageinrichtung Typ C
Typ: ALLinONE

13.2 Beschreibung

Die Anschlageinrichtung, Typ: ALLinONE (Bild 1) dient der Sicherung von Personen gegen Absturz. Es können sich maximal vier Personen an der Führung zwischen zwei Verankerungen gegen Absturz sichern. Die Montage der Anschlageinrichtung erfolgt an entsprechenden Untergründen mit ausreichender Festigkeit.

Die korrosionsbeständige Führung aus Stahldrahtseil (\varnothing 8 mm – Ausführung 7x7), wird an beiden Enden mittels einer Seilspannvorrichtung (Bild 24) befestigt. Die Seilspannvorrichtungen sind mit einer integrierten Falldämpfung ausgestattet und werden direkt, bzw. über die Endverankerungen (Bild 7 - Bild 13), mit der baulichen Einrichtung verbunden.

Auf der Führung laufen die beweglichen Anschlagpunkte (Bild 2 – Bild 6).

Die beweglichen Anschlagpunkte sind jeweils mit einem Verbindungselement, in Form eines Karabinerhakens aus Stahl, ausgestattet. Die beweglichen Anschlagpunkte können nicht von der Führung entfernt werden, mit Ausnahme der beweglichen Anschlagpunkte, Typ: AIO-GLEIT-10 (Bild 2) und AIO-GLEIT-20 (Bild 6), welche durch zwei unabhängig voneinander auszuführende Handgriffe von der Führung entfernt werden können.

Ein Überfahren der Enden der Führung durch den Benutzer ist nicht möglich, da diese durch die Seilspannvorrichtungen und Endverbindungen blockiert sind.

Die korrekte Vorspannung der Führung ist durch eine Markierung an der Seilspannvorrichtung ersichtlich. Auf der laufenden Länge der Führung können speziell geformte Zwischenverankerungen (Bild 25 – Bild 30), zur Unterstützung der Führung, an der baulichen Einrichtung montiert werden.

Der maximale Abstand zwischen den Verankerungen variiert je nach Systemaufbau und beträgt maximal 15 m. Zusätzlich können Kurvenumfahrungen mit den Eckverankerungen (Bild 14 – Bild 23) realisiert werden. Die Eckverankerungen lenken die Führung mittels eines gebogenen Rohres um.

Mit der Eckverankerung (Bild 18) lässt sich die Führung in jedem möglichen horizontalen Winkel umlenken. Allerdings ist kein Überfahren mit einem beweglichen Anschlagpunkt möglich.

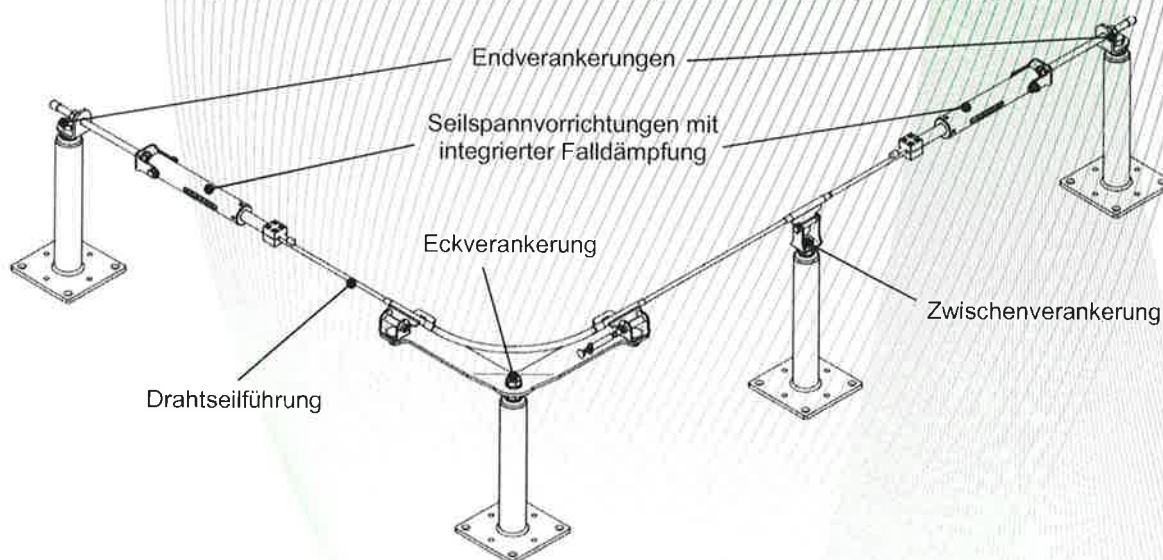


Bild 1: Anwendungsbeispiel der Anschlageinrichtung, Typ: ALLinONE



Bild 2: Beweglicher Anschlagpunkt,
Typ: AIO-GLEIT-10

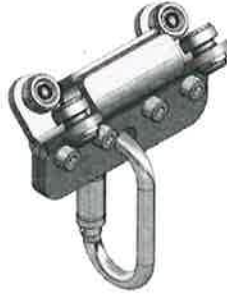


Bild 3: Beweglicher Anschlagpunkt,
Typ: AIO-GLEIT-11



Bild 4: Beweglicher Anschlagpunkt,
Typ: AIO-GLEIT-12



Bild 5: Beweglicher Anschlagpunkt,
Typ: AIO-GLEIT-13



Bild 6: Beweglicher Anschlagpunkt,
Typ: AIO-GLEIT-20



Bild 7: Endverankerung,
Typ: AIO-EB-10

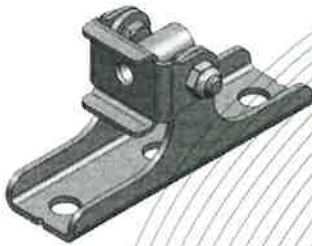


Bild 8: Endverankerung,
Typ: AIO-EB-11

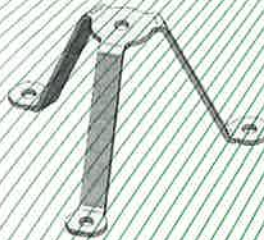


Bild 9: Endverankerung,
Typ: AIO-EB-12

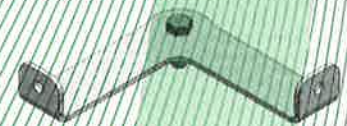


Bild 10: Endverankerung,
Typ: AIO-EB-13

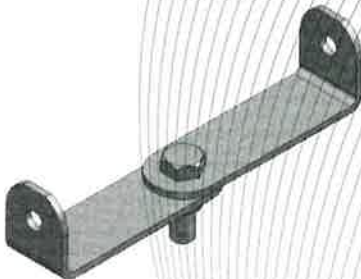


Bild 11: Endverankerung,
Typ: AIO-EB-14



Bild 12: Endverankerung,
Typ: AIO-EB-15

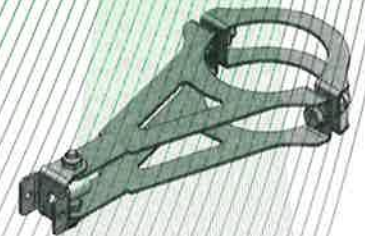


Bild 13: Endverankerung,
Typ: AIO-EB-20



Bild 14: Eckverankerung,
Typ: AIO-EDLE-10



Bild 15: Eckverankerung,
Typ: AIO-EDLE-11



Bild 16: Eckverankerung,
Typ: AIO-EDLE-12



Bild 17: Eckverankerung,
Typ: AIO-EDLE-13

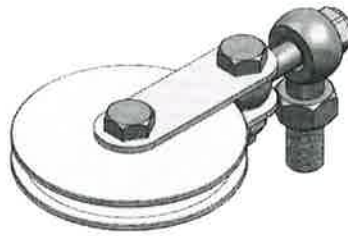


Bild 18: Eckverankerung,
Typ: AIO-EDLE-14



Bild 19: Eckverankerung,
Typ: AIO-EDLE-17



Bild 20: Eckverankerung,
Typ: AIO-EDLE-18



Bild 21: Eckverankerung,
Typ: AIO-EDLE-19



Bild 22: Eckverankerung,
Typ: AIO-EDLE-20



Bild 23: Eckverankerung,
Typ: AIO-EDLE-50



Bild 24: Seilspanner
Typ: AIO-ENDS-10



Bild 25: Zwischenverankerung,
Typ: AIO-SZH-10

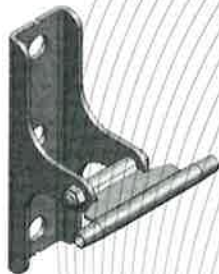


Bild 26: Zwischenverankerung,
Typ: AIO-SZH-11



Bild 27: Zwischenverankerung,
Typ: AIO-SZH-13



Bild 28: Zwischenverankerung,
Typ: AIO-SZH-14



Bild 29: Zwischenverankerung,
Typ: AIO-SZH-15



Bild 30: Zwischenverankerung,
Typ: AIO-SZH-20

(14) Bericht

PB 17-340, 31.01.2019